

# ЭЛЕКТРОННЫЙ ПАРАМАГНИТНЫЙ РЕЗОНАНС ИОНОВ $\text{Cr}^{3+}$ В ДИАМАГНИТНЫХ КРИСТАЛЛАХ $\text{ABO}_3$ ( $\text{A} = \text{Sc}, \text{In}, \text{Ga}$ )

*A. M. Воротынов<sup>a\*</sup>, B. B. Руденко<sup>a</sup>, С. Г. Овчинников<sup>a</sup>, M. C. Молокеев<sup>a,b</sup>*

<sup>a</sup> Институт физики им. Л. В. Киренского Сибирского отделения Российской академии наук  
660036, Красноярск, Россия

<sup>b</sup> Сибирский федеральный университет  
660041, Красноярск, Россия

Поступила в редакцию 2 июля 2018 г.

Методом магнитного резонанса исследован ряд изоструктурных диамагнитных соединений  $\text{ABO}_3$  ( $\text{A} = \text{Sc}, \text{In}, \text{Ga}$ ) с малыми добавками иона  $\text{Cr}^{3+}$  ( $S = 3/2$ ) для наблюдения одноионных и парных спектров. Показано, что резонансные спектры для изолированных ионов  $\text{Cr}^{3+}$  могут быть хорошо описаны обычным аксиальным спиновым гамильтонианом для  $3d$ -ионов в октаэдрическом кислородном окружении. Параметры спинового гамильтониана определены для одиночных ионов  $\text{Cr}^{3+}$  и пар  $\text{Cr}^{3+}\text{--Cr}^{3+}$ . Обсуждается искажение решетки кристаллов  $\text{ABO}_3$ , вызванное примесями ионов  $\text{Cr}^{3+}$ .

DOI: 10.1134/S0044451018120118

## 1. ВВЕДЕНИЕ

Бораты переходных металлов с химической формулой  $\text{ABO}_3$  ( $\text{A} = \text{Fe}, \text{V}, \text{Cr}, \text{Ti}$ ) привлекательны из-за многообразия их физических свойств, которые проявляются в этой изоструктурной серии соединений [1]. Однако ряд боратов  $3d$ -металлов  $\text{ABO}_3$ , за исключением  $\text{FeBO}_3$ , остается слабо изученным. Например, из всего ряда трехмерных боратов магнитная анизотропия была экспериментально исследована до настоящего времени только в  $\text{FeBO}_3$  [2]. В настоящей работе был применен метод электронного парамагнитного резонанса для исследования анизотропных свойств ионов  $\text{Cr}^{3+}$  в диамагнитных матрицах изоструктурных соединений  $\text{ABO}_3$  ( $\text{A} = \text{Sc}, \text{In}, \text{Ga}$ ). В этом случае ион  $\text{Cr}^{3+}$  был выбран из-за необычных магнитных свойств изоструктурного кристалла  $\text{CrBO}_3$  [3]. Например, авторы [4] показали, что магнитные свойства кристалла  $\text{CrBO}_3$  могут быть описаны на основе простой модели коллинеарного двухподрешеточного антиферромагнетика с магнитными моментами, направленными вдоль оси [111]. Авторы [3] предположили на основе статических магнитных измерений, что вектор антиферро-

магнетизма в  $\text{CrBO}_3$ , напротив, лежит в плоскости, близкой к базисной плоскости кристалла.

Настоящая работа является продолжением исследований, представленных нами в работе [5]. В ней обсуждались только спектры одночочных ионов для  $\text{A} = \text{In}, \text{Sc}, \text{Lu}$  и указывалось на наличие спектров пар ионов  $\text{Cr}^{3+}\text{--Cr}^{3+}$ . В настоящей работе представлены новые данные по спектрам электронного парамагнитного резонанса (ЭПР) одночочных ионов  $\text{Cr}^{3+}$  в диамагнитной матрице  $\text{GaBO}_3$  и парным спектрам ионов  $\text{Cr}^{3+}\text{--Cr}^{3+}$  в соединениях с  $\text{A} = \text{Sc}, \text{In}, \text{Ga}$ .

## 2. МАТЕРИАЛЫ И МЕТОДЫ

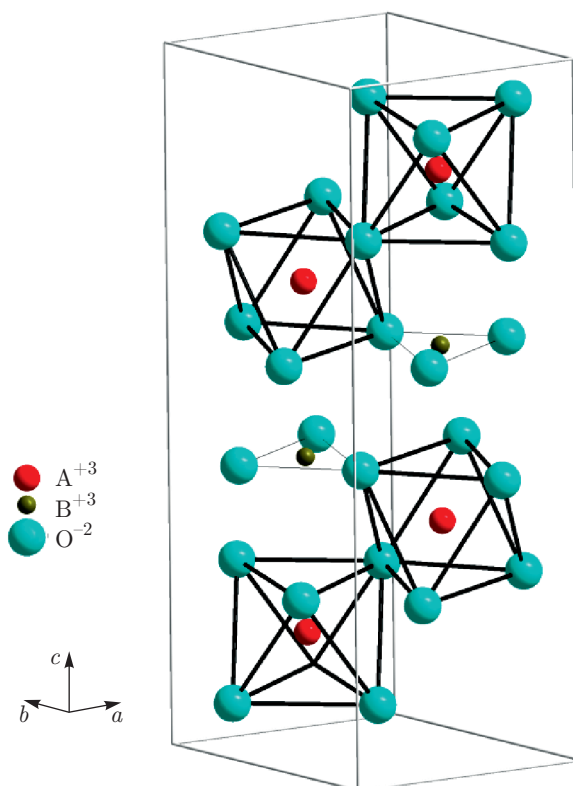
Монокристаллы  $\text{ABO}_3$  ( $\text{A} = \text{Sc}, \text{In}, \text{Ga}$ ) с небольшими (около 5 ат. %  $\text{A}$ ) добавками ионов  $\text{Cr}^{3+}$  выращивались из раствора–расплава систем  $\text{Cr}_2\text{O}_3\text{--M}_2\text{O}_3\text{--B}_2\text{O}_3\text{--}(70\text{PbO--}30\text{PbF}_2$  вес. %). Подробное описание технологического синтеза приведено в [6]. При этом ионы  $\text{Cr}^{3+}$  замещают ионы  $\text{A}$ . Мы получили монокристаллы в виде тонких пластин размером  $2 \times 2 \text{ mm}^2$  и толщиной около 0.1 мм с гладкой блестящей поверхностью светло-серого цвета. Изоструктурные кристаллы  $\text{ABO}_3$  ( $\text{A} = \text{Sc}, \text{In}, \text{Ga}$ ) имеют ромбоэдрическую симметрию с пространственной группой  $R\bar{3}c$ , точечная группа симметрии иона  $\text{A}$  ( $-3m$ ). Параметры элементарной ячейки определялись с использованием рентгеновской спектроскопии на установке

\* E-mail: sasa@iph.krasn.ru

Таблица 1. Параметры элементарной ячейки кристаллов  $\text{ABO}_3$ 

$\text{ABO}_3$	Эффективный ионный радиус $r$ , Å [7]	Параметры элементарной ячейки, Å		$c/a$	Межионное расстояние, Å	$\theta$
		$a$	$c$			
Sc	0.745	4.7532(5)	15.2669(2)	3.212	3.7424	47.163°
In	0.800	4.806	15.348	3.194	3.7739	47.33°
Ga	0.620	4.578(1)	14.183(5)	3.098	3.5459	48.2°

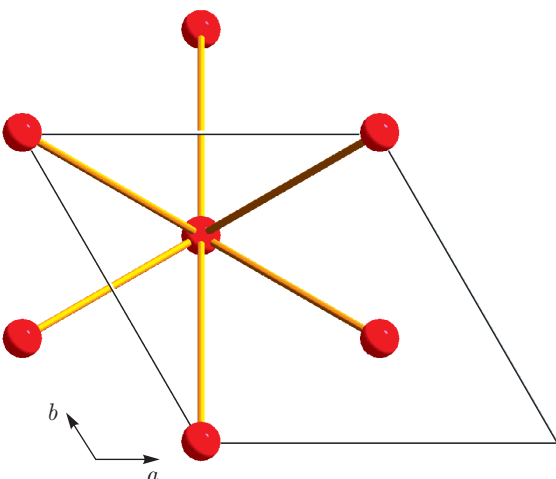
Примечание. Эффективный радиус ионов  $\text{Cr}^{3+}$  равен  $r = 0.615$  Å,  $\theta$  — угол между осью пары и осью  $C_3$  кристалла

Рис. 1. Кристаллическая структура  $\text{ABO}_3$ 

Smart APEX II (Bruker) ( $K_{\alpha}$ -излучение Mo) при комнатной температуре и представлены в табл. 1 для Sc, In, Ga.

Ось  $C_3$  кристалла перпендикулярна плоскости пластины кристалла (ось  $c$  на рис. 1). Ионы А расположены в октаэдрах, образованных ионами кислорода, связанными с ионами бора сильной ковалентной связью.

Кроме того, существует возможность образования магнитных пар ближайших ионов  $\text{Cr}^{3+}$ . Проекция осей пары на базисную плоскость кристалла

Рис. 2. Проекция осей пары  $\text{Cr}^{3+}$  на базисную плоскость кристалла

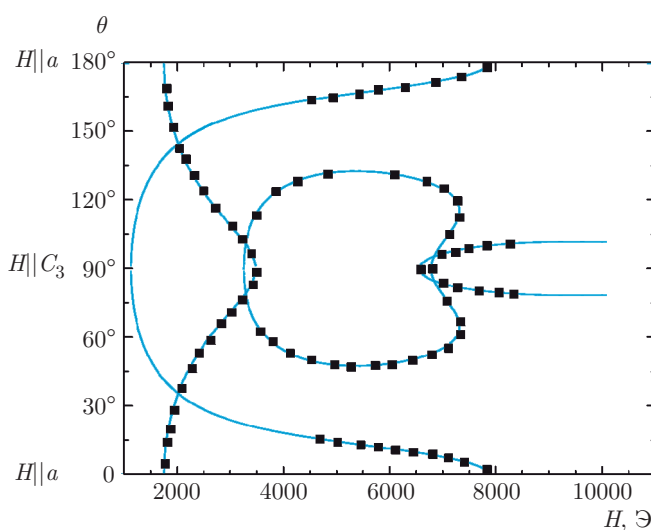
представлена на рис. 2. Все пары магнитно эквивалентны. Расстояния  $\text{Cr}^{3+}-\text{Cr}^{3+}$  и углы между осью  $C_3$  кристалла и осью пары показаны в табл. 1.

Измерения электронного парамагнитного резонанса проводились на спектрометре Bruker Elexsys E-580, работающем в  $X$ -диапазоне при температурах 300 К и 77 К.

### 3. РЕЗУЛЬТАТЫ

#### 3.1. Одноионные спектры

В этой главе представлены экспериментальные результаты для одноионных ЭПР-спектров ионов  $\text{Cr}^{3+}$ , полученных в соединениях  $\text{ABO}_3$  (Sc, In, Ga). Поскольку эта работа является продолжением исследований, представленных нами в работе [5], рассмотрим более подробно только экспериментальные



**Рис. 3.** Угловая зависимость резонансных полей сигналов ЭПР, наблюдаемых в плоскости  $ac$  кристалла  $\text{GaBO}_3$ . Точки представляют собой эксперимент, сплошные кривые — расчет (см. табл. 2)

данные для кристалла  $\text{GaBO}_3$ , которые не обсуждались ранее.

Угловая зависимость резонансных полей одиночных переходов ионов  $\text{Cr}^{3+}$ , наблюдавшихся в плоскости  $ac$ , показана на рис. 3. Спектры резонанса для изолированных ионов  $\text{Cr}^{3+}$  могут быть описаны аксиальным спиновым гамильтонианом для  $3d$ -ионов:

$$H = -g_{\parallel}\beta H_z S_z - g_{\perp}\beta(H_x S_x + H_y S_y) + D S_z^2, \quad (1)$$

где  $D$  — аксиальная постоянная спинового гамильтониана,  $g_{\parallel}$  и  $g_{\perp}$  — значения  $g$ -тензора для параллельных и перпендикулярных ориентаций внешнего магнитного поля относительно оси  $C_3$  кристалла,  $\beta$  — магнетон Бора,  $S_i$  и  $H_i$  — проекции спина иона  $\text{Cr}^{3+}$  на внешнее магнитное поле,  $S = 3/2$  — спин иона  $\text{Cr}^{3+}$ . Экспериментальные и теоретические спектры были подогнаны с помощью программного обеспечения XSophe [8]. Результаты представлены в табл. 2.

Полученные значения  $g$ -тензора почти изотропны и соответствуют значениям для ионов  $d^3$  в октаэдрическом окружении [9]. Константа спин-гамильтониана  $D$  коррелирует с константой  $D$  в ранее исследованных соединениях  $\text{Al}_2\text{O}_3$  [10] и  $\text{ZnGa}_2\text{O}_4$  [11, 12], в которых ион  $\text{Cr}^{3+}$  также находится в октаэдрической координации. Знак константы  $D$  для иона  $\text{Cr}^{3+}$  в  $\text{GaBO}_3$  определялся путем сравнения интенсивностей резонансных линий  $M_S = 1/2 \leftrightarrow 3/2$  и

**Таблица 2.** Параметры спинового гамильтониана (1) для изолированного иона  $\text{Cr}^{3+}$  в матрице  $\text{ABO}_3$  при комнатной температуре

A	$g_{\parallel}$	$g_{\perp}$	$D, \text{ см}^{-1}$
In [5]	1.980(1)	1.982(1)	-0.314(1)
Sc [5]	1.980(1)	1.982(1)	-0.402(2)
Ga (новые данные)	1.980(1)	1.982(1)	-0.467(1)

$M_S = -1/2 \leftrightarrow -3/2$  переходов соответственно при  $T = 300$  К и  $T = 77$  К, как в работе [?].

В качестве примера на рис. 4 показаны расчетные схемы уровней энергии иона  $\text{Cr}^{3+}$  в кристалле  $\text{GaBO}_3$ .

### 3.2. Парные спектры

В соединениях с  $A = \text{Sc}, \text{In}, \text{Ga}$  наблюдались спектры пар ионов  $\text{Cr}^{3+}-\text{Cr}^{3+}$ . Пример парных спектров для кристалла  $\text{ScBO}_3$  при комнатной температуре представлен на рис. 5. Интенсивная линия в правой и левой частях спектра соответствует одиночным переходам.

Пара  $\text{Cr}^{3+}-\text{Cr}^{3+}$  образуется ближайшими соседями с расстояниями  $r = 3.7424 \text{ \AA}, 3.774 \text{ \AA}, 3.5459 \text{ \AA}$  соответственно для соединений  $A = \text{Sc}, \text{In}, \text{Ga}$  (см. табл. 1). Угол между осью пары и осью  $C_3$  кристаллов  $\theta \approx 47^\circ$  для всех соединений. Когда два иона  $\text{Cr}^{3+}$  взаимодействуют с образованием магнитной пары, спины  $s$  каждого иона формируют четыре спиновых состояния, каждое из которых характеризуется полным спиновым квантовым числом  $S$ , значение которого изменяется от  $(s_1+s_2), (s_1+s_2-1), \dots$  до 0. В предположении, что энергетические интервалы между этими спиновыми состояниями велики по сравнению с другими магнитными взаимодействиями, для каждого спинового состояния может быть записан отдельный спиновый гамильтониан. В нашем случае удалось идентифицировать резонансные спектры для парных мультиплетов с полным спином  $S = 2$  и  $S = 3$ . Угловые зависимости полей резонансных сигналов в базисной плоскости кристаллов показаны на рис. 6–8.

Подгонка экспериментальных спектров проводилась с помощью программы XSophe [8] и спинового гамильтониана (2):

$$H = -g_{\parallel}\beta H_z S_z - g_{\perp}\beta(H_x S_x + H_y S_y) + D S_z^2 + E_S(S_x^2 - S_y^2) + 1/60 [B_4^0 O_4^0 + B_4^2 O_4^2 + B_4^4 O_4^4], \quad (2)$$

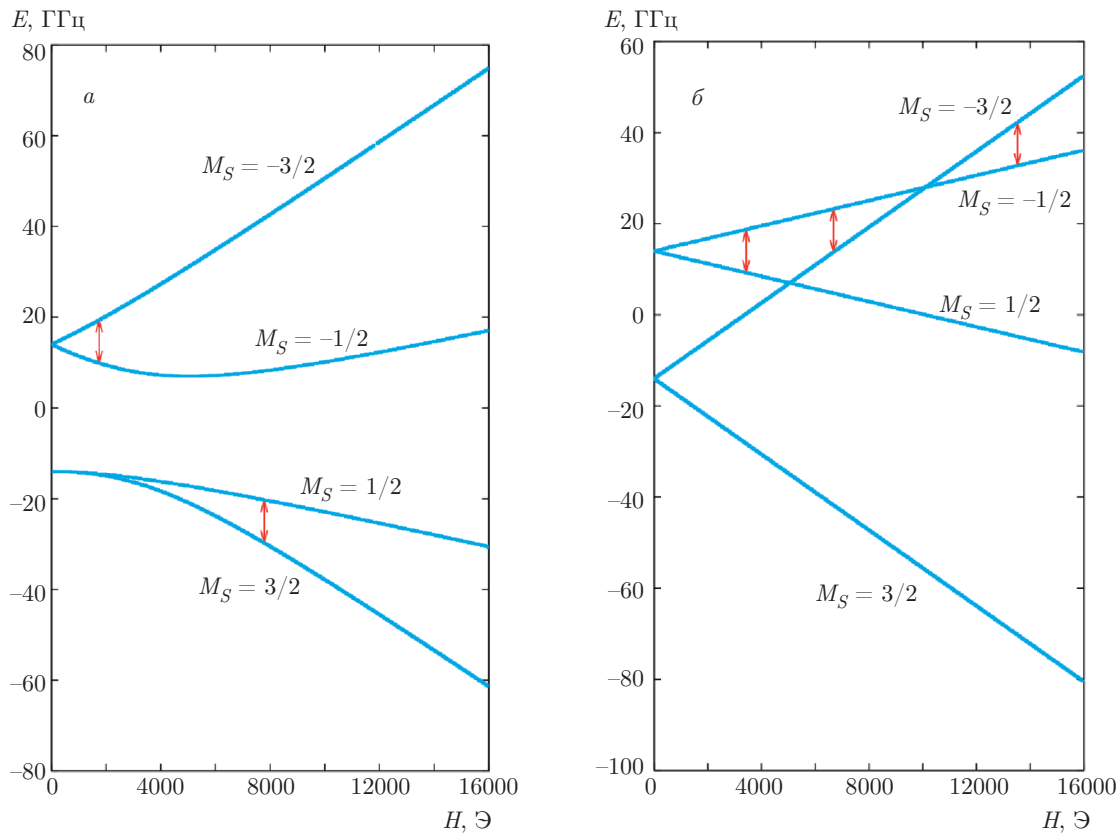


Рис. 4. Расчетные схемы уровней энергии иона  $\text{Cr}^{3+}$  в  $\text{GaBO}_3$ : *а* — внешнее магнитное поле параллельно базисной плоскости кристалла, *б* — внешнее магнитное поле параллельно оси  $C_3$

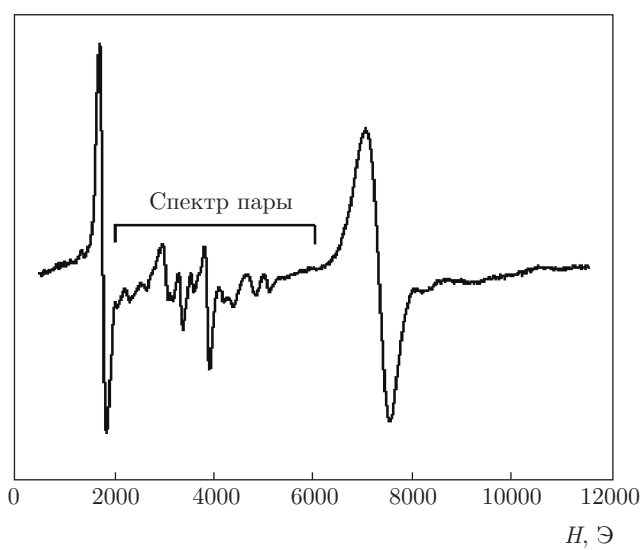


Рис. 5. Пример спектров пары ионов  $\text{Cr}^{3+}-\text{Cr}^{3+}$  в кристалле  $\text{ScBO}_3$  при комнатной температуре в базисной плоскости кристалла

где  $g_{\parallel}$  и  $g_{\perp}$  — значения  $g$ -тензора для параллельных и перпендикулярных ориентаций внешнего магнитного поля относительно оси  $C_3$  кристалла,  $\beta$  — магнетон Бора. Спиновые операторы  $O_4^0$ ,  $O_4^2$  и  $O_4^4$  приведены в работе [13]. Третий и четвертый члены в (2) соответствуют значению «тонкой» структуры для полного спина  $S$  мультиплета пары и имеют вид [13]

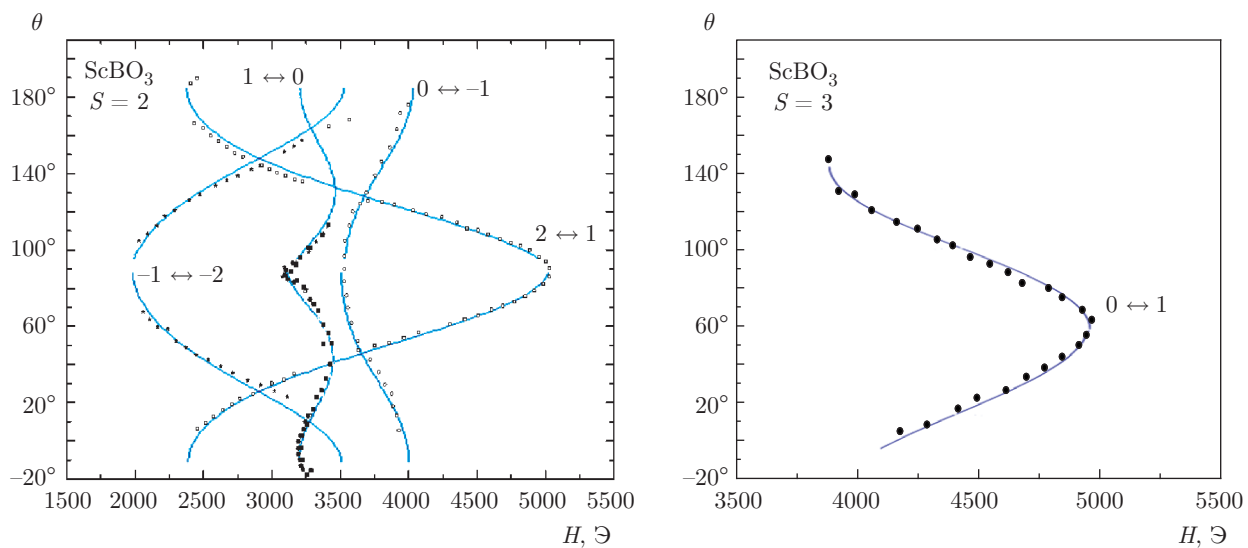
$$D_S = (3\alpha_S D_e + \beta_S D_c), \quad E_S = (\alpha_S E_e + \beta_S E_c), \quad (3)$$

где  $D_e$ ,  $E_e$  — константы диполь-дипольного взаимодействия (в предположении изотропного обменного взаимодействия) в точечном приближении,  $D_c$ ,  $E_c$  — «одноионные» члены для каждого мультиплета [13] и

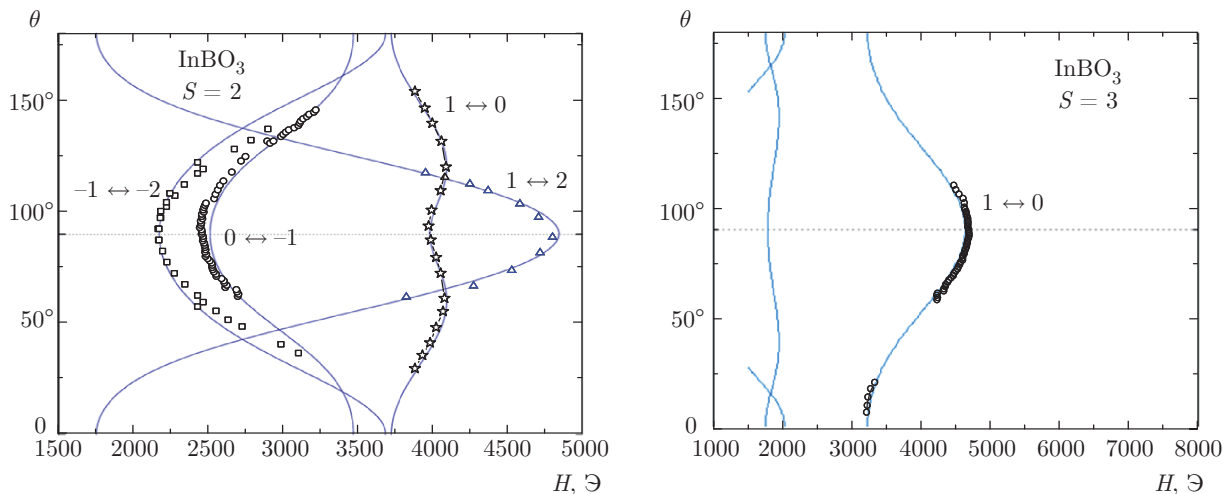
$$\alpha_S = \frac{1}{2} \frac{S(S+1) + 4s_i(s_i+1)}{(2S-1)(2S+3)}, \quad (4)$$

$$\beta_S = \frac{3S(S+1) - 3 - 4s_i(s_i+1)}{(2S-1)(2S+3)}.$$

Символы  $N \leftrightarrow J$  на рис. 6–8 обозначают переходы между соответствующими номерами  $M_S$  в па-



**Рис. 6.** Угловые зависимости резонансных полей в базисной плоскости кристалла  $\text{ScBO}_3$  при комнатной температуре. Точки — эксперимент, сплошные линии — подгоночные кривые с использованием спинового гамильтониана (2) с параметрами из табл. 3



**Рис. 7.** Угловые зависимости резонансных полей в базисной плоскости кристалла  $\text{InBO}_3$  при комнатной температуре. Точки — эксперимент, сплошные линии — подгоночные кривые с использованием спинового гамильтониана (2) с параметрами из табл. 3

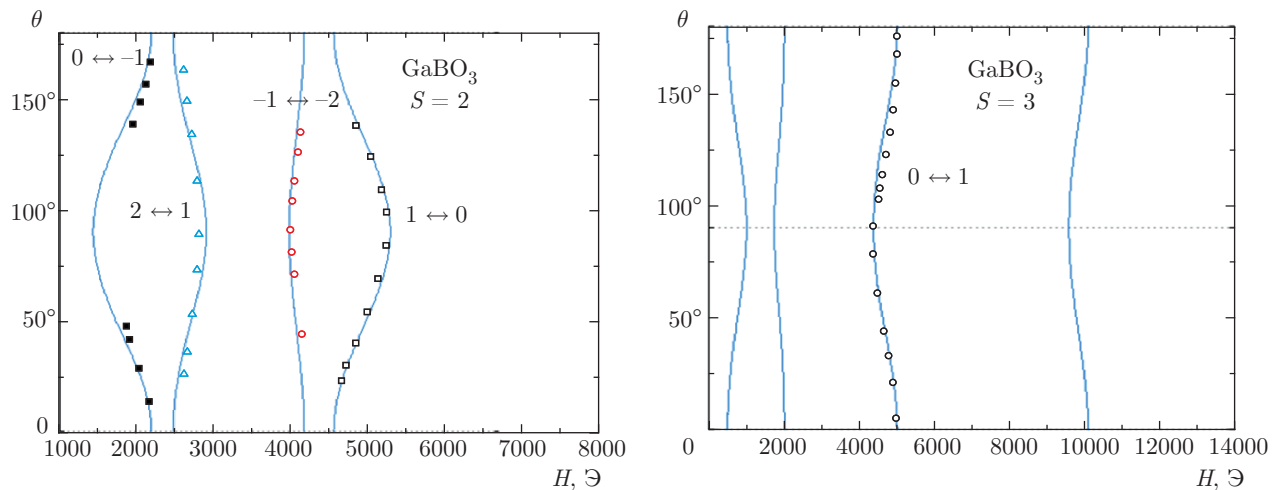
рах мультиплета. Заметим, что реальный экспериментальный спектр для каждого кристалла состоит из трех идентичных спектров рис. 6–8, соответствующих парам  $\text{Cr}^{3+}-\text{Cr}^{3+}$ , повернутым на  $60^\circ$  в базисной плоскости (см. рис. 2).

Наилучшие подгоночные значения спин-гамильтониана (2) представлены в табл. 3.

#### 4. ОБСУЖДЕНИЕ

Рассмотрим сначала экспериментальные результаты для пар  $\text{Cr}^{3+}-\text{Cr}^{3+}$  в кристаллах  $\text{ABO}_3$ . Член  $D_e$  может быть получен непосредственно из зна-

чения  $D_{S=2}$  (уравнение (3)), так как для  $S = 2$  (4) нет решеточного вклада ( $\beta = 0$ ). Для пары, которая имеет почти изотропный  $g$ -тензор, анизотропный член  $D_e$  почти полностью обусловлен диполь-дипольным взаимодействием. Если парамагнитные ионы, которые образуют пару, рассматриваются как точечные диполи, то значение  $D_e$  может быть вычислено из следующего выражения:  $D_e = -g^2\beta^2/R^3$  (где  $R$  — межионное расстояние). Из значений  $D_e$  (для  $S = 2$ ), наблюдаемых для пар  $\text{Cr}^{3+}-\text{Cr}^{3+}$  в  $\text{ABO}_3$ , могут быть рассчитаны расстояния между двумя ионами  $\text{Cr}^{3+}$ . Результаты пред-



**Рис. 8.** Угловые зависимости резонансных полей в базисной плоскости кристалла  $\text{GaBO}_3$  при комнатной температуре. Точки — эксперимент, сплошные линии — подгоночные кривые с использованием спинового гамильтониана (2) с параметрами из табл. 3

**Таблица 3.** Значения параметров спин-гамильтониана (2) ( $\text{см}^{-1}$ ) для пар  $\text{Cr}^{3+}-\text{Cr}^{3+}$  в кристаллах  $\text{ABO}_3$

A	$S = 2$					$S = 3$			
	$D_S$	$E_S/D_S$	$B_4^0$	$B_4^2$	$B_4^4$	$D_S$	$E_S/D_S$	$B_4^0$	$B_4^2$
Ga	-0.022(3)	-0.03(3)	-0.18(3)	0.10(3)	0	-0.22(1)	0.028	0.0073	0
Sc	-0.061(1)	-0.097	0.047(1)	-0.05(1)	0.02	-0.197(1)	0.06(1)	0.01	-0.018
In	-0.078(1)	-0.0656	-0.0341	-0.009	-0.01	-0.173(6)	-0.1	-0.005	0.03

*Примечание.* Числа в круглых скобках — ошибки подгонки в последнем десятичном знаке указанных параметров,  $g_{\parallel} = 1.980$  и  $g_{\perp} = 1.982$  для всех кристаллов

ставлены в табл. 4. Заметим, что расстояние  $\text{Cr}^{3+}-\text{Cr}^{3+}$  в чистом (без примеси  $\text{Cr}^{3+}$ ) кристалле  $\text{CrBO}_3$  равно  $3.5535 \text{ \AA}$  [14].

В табл. 4:  $R_{theor}$  — межионные расстояния  $\text{A}^{3+}-\text{A}^{3+}$  по рентгеновским данным из табл. 1,  $D_e^{theor} = -g^2\beta^2/R_{theor}^3$ ,  $D_{S=2}^{theor} = 3/2D_e^{theor}$ ,  $R_{exp}$  — межионные расстояния  $\text{Cr}^{3+}-\text{Cr}^{3+}$ , вычисленные из  $D_{S=2}^{exp}$ . Из табл. 4 можно видеть искажения решетки  $\text{ABO}_3$ , вызванные примесными парами  $\text{Cr}^{3+}-\text{Cr}^{3+}$ . На рис. 9 представлены эти искажения в зависимости от межионного расстояния  $\text{A}^{3+}-\text{A}^{3+}$  в кристаллах  $\text{ABO}_3$ .

Можно заметить тенденцию: чем меньше межионные расстояния  $\text{A}^{3+}-\text{A}^{3+}$ , тем сильнее искажения. Кроме того, знак искажения меняется на расстоянии  $\text{A}^{3+}-\text{A}^{3+}$ , приблизительно равном  $3.7 \text{ \AA}$ .

Из уравнения (3) можно найти значения  $D_c$  (используя значение  $D_{S=2}^{exp}$ ) (см. табл. 5).

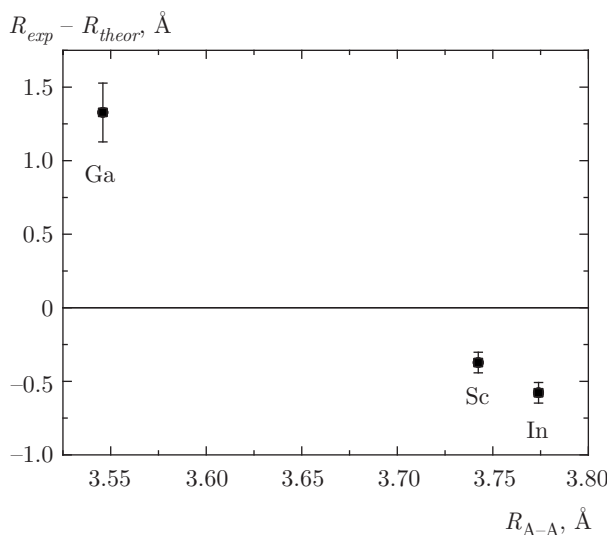
Видно, что значения  $D_c$  достаточно близки к константам  $D$  спин-гамильтониана (1) для одиночного иона  $\text{Cr}^{3+}$  в кристаллах  $\text{ABO}_3$ , за исключением  $\text{GaBO}_3$ . Разумное объяснение этого различия для кристалла  $\text{GaBO}_3$  можно дать, если учесть сильное искажение решетки, наблюдаемое для пары  $\text{Cr}^{3+}-\text{Cr}^{3+}$  в  $\text{GaBO}_3$ .

На рис. 10 показаны зависимости члена  $D_S$ , представленного в табл. 4 для спин-гамильтониана (2), от расстояния  $\text{Cr}^{3+}-\text{Cr}^{3+}$ .

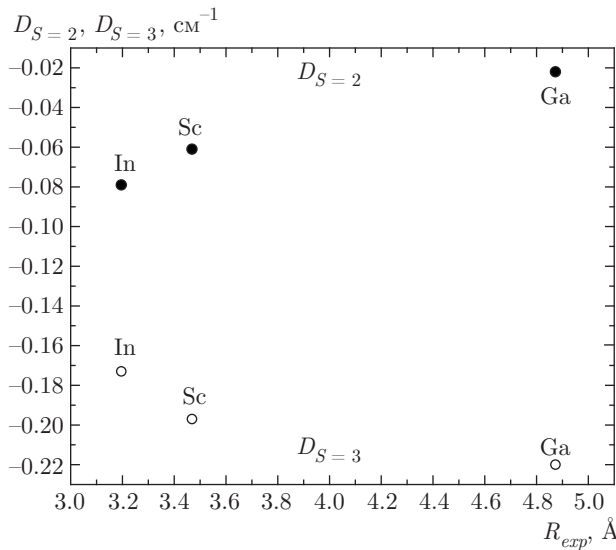
Теперь рассмотрим аксиальную константу  $D$  одноионного спин-гамильтониана (1). Предполагая модель точечных диполей и учитывая только шесть ближайших ионов кислорода (образующих октаэдрическое окружение иона  $\text{Cr}^{3+}$ ), можно грубо опе-

**Таблица 4.** Значения  $D_e$  для пар  $\text{Cr}^{3+}-\text{Cr}^{3+}$  в кристаллах  $\text{ABO}_3$ 

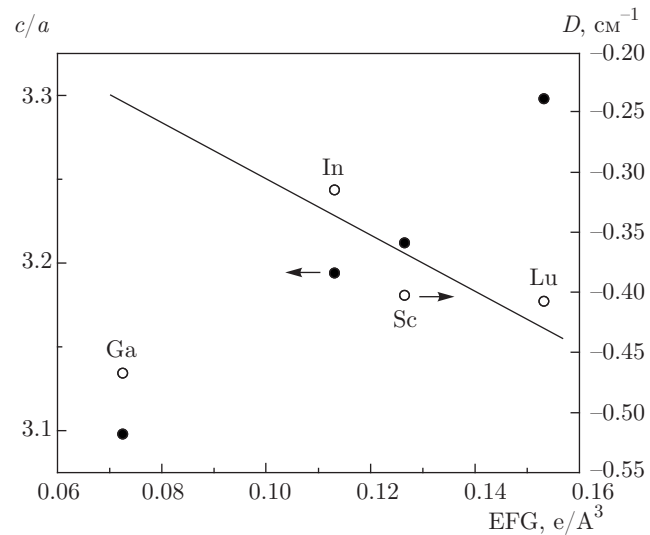
A	$R_{theor}$ , Å (из табл. 1)	$D_e^{theor}$ , $\text{cm}^{-1}$	$D_{S=2}^{theor}$ , $\text{cm}^{-1}$	$D_{S=2}^{theor}$ , $\text{cm}^{-1}$ (из табл. 3)	$R_{exp}$ , Å
Ga	3.5459	-0.03807	-0.057105	-0.022	$4.8732 \pm 0.2$
Sc	3.7424	-0.03238	-0.04857	-0.061	$3.4688 \pm 0.07$
In	3.7739	-0.03158	-0.04737	-0.078	$3.1959 \pm 0.07$



**Рис. 9.** Решеточное искажение кристалла, вызванное парой  $\text{Cr}^{3+}-\text{Cr}^{3+}$  (см. табл. 4). Здесь  $R_{A-A}$  является межионным расстоянием  $\text{A}^{3+}-\text{A}^{3+}$  из табл. 1



**Рис. 10.** Зависимость  $D_S$  от расчетного расстояния  $\text{Cr}^{3+}-\text{Cr}^{3+}$  для кристаллов  $\text{ABO}_3$  ( $A = \text{In}, \text{Sc}, \text{Ga}$ ):  $D_{S=2}$  — черные точки,  $D_{S=3}$  — светлые точки,  $R_{exp}$  — расстояние  $\text{Cr}^{3+}-\text{Cr}^{3+}$ , определенное в табл. 4



**Рис. 11.** Зависимости  $c/a$  и  $D$  от градиента электрического поля в кристаллах  $\text{ABO}_3$  ( $A = \text{Ga}, \text{In}, \text{Sc}, \text{Lu}$ ):  $D$  — светлые точки (аксиальная константа одноионного спинового гамильтониана (1)),  $c/a$  — черные точки (параметры решетки). Сплошная линия произвольно проведена для светлых точек (In, Sc, Lu)

нить градиент электрического поля (EFG) для позиции иона  $\text{Cr}^{3+}$  с использованием данных рентгеновского анализа (табл. 1). Очевидно, что значение EFG в основном определяет значение  $D$ . На рис. 11 представлены зависимости  $D$  и  $c/a$  от EFG для кристаллов  $\text{ABO}_3$  ( $A = \text{Ga}, \text{In}, \text{Sc}, \text{Lu}$ ).

На рис. 11 прослеживается общая тенденция — увеличение EFG по мере увеличения отношения  $c/a$ . Точно так же абсолютное значение аксиальной постоянной  $D$  возрастает (по модулю) с ростом EFG, за исключением иона  $\text{Cr}^{3+}$  в  $\text{GaBO}_3$ . Этот факт можно объяснить, если предположить, что сильное искажение решетки, наблюдаемое для пары  $\text{Cr}^{3+}-\text{Cr}^{3+}$  в  $\text{GaBO}_3$  (см. рис. 9 и табл. 4), может быть реализовано и для одиночного иона  $\text{Cr}^{3+}$  в  $\text{GaBO}_3$ . В этом случае значение EFG, рассчитанное

**Таблица 5.** Значения  $D_c$  для пар  $\text{Cr}^{3+}-\text{Cr}^{3+}$  в кристаллах  $\text{ABO}_3$

A	$D_c, \text{ см}^{-1}$	$D, \text{ см}^{-1}$ (из табл. 2)
Ga	-0.517	-0.467
Sc	-0.401	-0.402
In	-0.3155	-0.314

по данным рентгеновского анализа (табл. 1), может в значительной степени отличаться от реального.

## 5. ЗАКЛЮЧЕНИЕ

Методом электронного парамагнитного резонанса исследованы одноионные и парные спектры ионов  $\text{Cr}^{3+}$  в диамагнитных кристаллах  $\text{ABO}_3$  ( $A = \text{Sc}, \text{In}, \text{Ga}$ ). Определены параметры спин-гамильтонианов для одиночных ионов и пар  $\text{Cr}^{3+}-\text{Cr}^{3+}$  при комнатной температуре. Обсуждались искажения решетки кристаллов  $\text{ABO}_3$  ( $A = \text{Sc}, \text{In}, \text{Ga}$ ), вызванные примесью ионов  $\text{Cr}^{3+}$ . Эта работа будет продолжена исследованием интенсивности резонансных линий пар в зависимости от температуры для определения знаков и величин интегралов обмена  $J$  в парах  $\text{Cr}^{3+}-\text{Cr}^{3+}$ .

## ЛИТЕРАТУРА

- Н. Б. Иванова, В. В. Руденко, А. Д. Балаев, Н. В. Казак, С. Г. Овчинников, И. С. Эдельман, А. С. Федоров, П. В. Аврамов, ЖЭТФ **121**, 354 (2002).
- G. V. Bondarenko, S. G. Ovchinnikov, V. V. Rudenko, V. M. Sosnin, V. I. Tugarinov, and A. M. Vorotynov, J. Magn. Magn. Mater. **335**, 90 (2013).
- A. D. Balaev, N. B. Ivanova, N. V. Kazak, S. G. Ovchinnikov, V. V. Rudenko, and V. M. Sosnin, Phys. Sol. St. **45**, 287 (2003).
- T. A. Bither, C. G. Frederick, T. E. Gier, J. F. Weicher, and H. S. Young, Sol. St. Comm. **8**, 109 (1970).
- А. М. Воротынов, С. Г. Овчинников, В. В. Руденко, О. В. Воротынова, ЖЭТФ **149**, 848 (2016).
- V. V. Rudenko, Inorg. Mater. **34**, 1253 (1998).
- R. D. Shannon, Acta Crystallographica A **32**, 751 (1976).
- M. Griffin, A. Muys, C. Noble, D. Wang, C. Eldershaw, K. E. Gates, K. Burrage, and G. R. Hanson, Mol. Phys. Rep. **26**, 60 (1999).
- С. А. Альтшуллер, Б. М. Козырев, Электронный парамагнитный резонанс соединений элементов промежуточных групп, Наука, Москва (1972).
- M. J. Berggren, G. F. Imbusch, and P. L. Scott, Phys. Rev. **188**, 675 (1969).
- J. C. M. Henning, J. H. den Boeff, and G. G. P. van Gorkom, Phys. Rev. B **7**, 1825 (1973).
- G. L. McPherson and Wai-ming Heung, Sol. St. Comm. **19**, 53 (1976).
- A. Abragam and B. Bleaney, *Electron Paramagnetic Resonance of Transition Ions*, Clarendon Press, Oxford (1970).
- T. Bither and H. S. Young, J. Sol. St. Chem. **6**, 502 (1973).